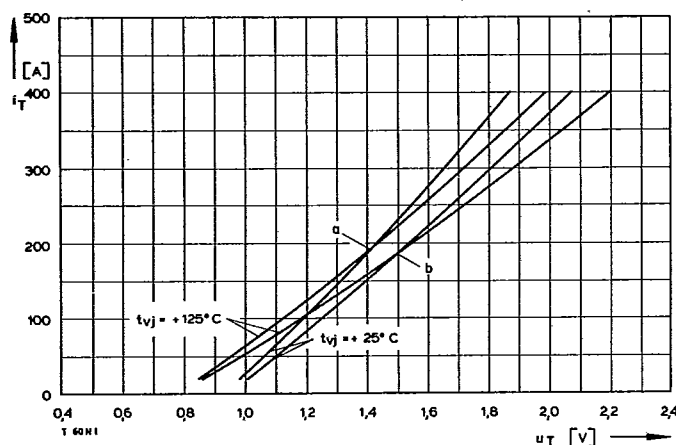


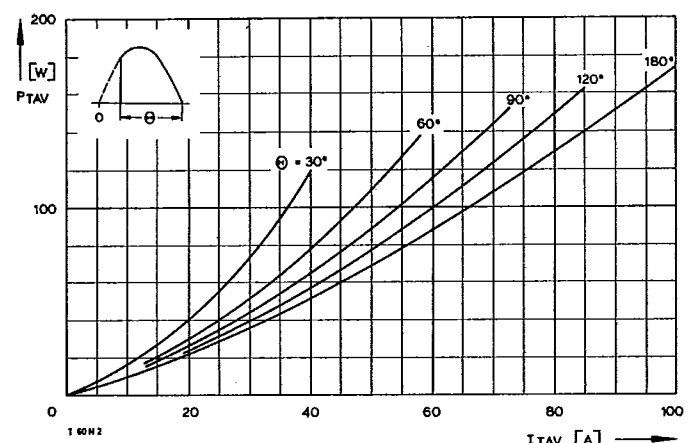
Type Range	T60 N	400*	600	800	1000	1100	1200	1400	1600	1800*
Elektrische Eigenschaften	Electrical properties									
Höchstzulässige Werte	Maximum permissible values									
U_{DRM} , U_{RRM}	Periodische Vorwärts- und Rückwärts-Spitzensperrspannung	repetitive peak forward off-state and reverse voltages							400...1800	V
I_{TRMSM}	Effektiver Durchlaßstrom	RMS on-state current							160	A
I_{TAVM}	Dauergrenzstrom	average on-state current							60	A
I_{TM}	Periodischer Spitzenstrom	repetitive peak on-state current							102	A
I_{TSM}	Stoßstrom-Grenzwert	surge current							960	A
$\int I^2 dt$	Grenzlastintegral	$\int I^2 dt$ -value							1,6	kA
$(di/dt)_{cr}$	Kritische Stromsteilheit	critical rate of rise of on-state current							1,4	kA
$(du/dt)_{cr}$	Kritische Spannungssteilheit	critical rate of rise of off-state voltage							12,8	$kA^2 s$
									9,8	$kA^2 s$
					nicht periodisch/non repetitive				800	$A/\mu s$
					Dauerbetrieb/continuous operation, $I_{TM} = 300 A$				150	$A/\mu s$
					Steuergenerator/pulse generator:					
					$U_L = 10 V$, $I_g = 0,6 A$, $di_g/dt = 0,6 A/\mu s$					
					$U_D = 67\% U_{DRM}$					
					5. Kennbuchstabe/5th letter C				400	$V/\mu s$
					5. Kennbuchstabe/5th letter F				1000	$V/\mu s$
Charakteristische Werte	Characteristic values									
U_T	Obere Durchlaßspannung	max. on-state voltage							1,8	V
$U_{(TO)}$	Schleusenspannung	threshold voltage							1	V
r_T	Ersatzwiderstand	slope resistance							3	$m\Omega$
U_{GT}	Obere Zündspannung	max. gate trigger voltage							1,4	V
I_{GT}	Oberer Zündstrom	max. gate trigger current							150	mA
	Unterer Zündstrom	min. gate trigger current							5	mA
I_H	Oberer Haltestrom	max. holding current							200	mA
I_L	Oberer Einraststrom	max. latching current							620	mA
I_D , I_R	Oberer Vorwärts- und Rückwärts-Sperrstrom	max. forward off-state and reverse currents							25	mA
t_{gd}	Oberer Zündverzug	max. gate controlled delay time							3	μs
t_q	Typische Freiwerdezeit	typical turn-off time							180	μs
C_{null}	Typische Nullkapazität	typical zero capacitance							3	nF
Thermische Eigenschaften	Thermal properties									
R_{thJC}	Innerer Wärmewiderstand	thermal resistance, junction to case							$\leq 0,45^\circ C/W$	
	Betriebstemperatur	operating temperature							$\leq 0,43^\circ C/W$	
	Lagertemperatur	storage temperature							-40°C...+125°C	
									-40°C...+150°C	
Mechanische Eigenschaften	Mechanical properties									
G	Si-Element mit Druckkontakt	Si-pellet with pressure contact								
M	Gewicht	weight							150 g	
	Anzugsdrehmoment	tightening torque							20 Nm	
	Maßbilder	outlines							Seite/page 233	
	Kriechstrecke	creepage distance							8 mm	
	Feuchteklassse	humidity classification							C	
	Schüttelfestigkeit	vibration resistance							5x9,81 m/s ²	
					DIN 40040					
					$f = 50 Hz$					

* Für größere Stückzahlen bitte Liefertermin erfragen/Delivery for larger quantities on request

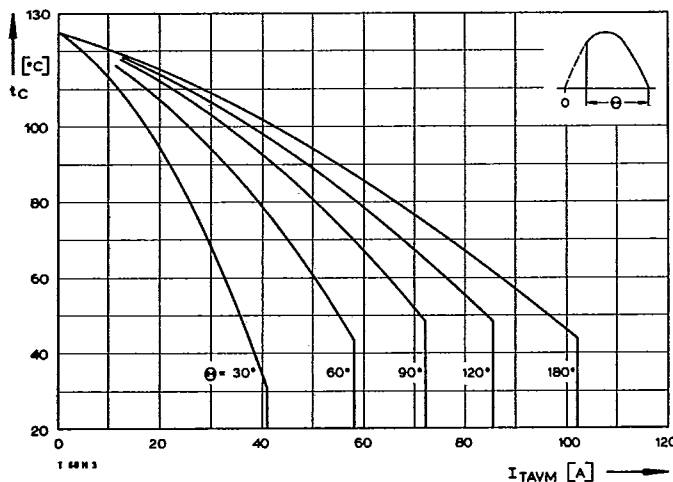
T 60 N



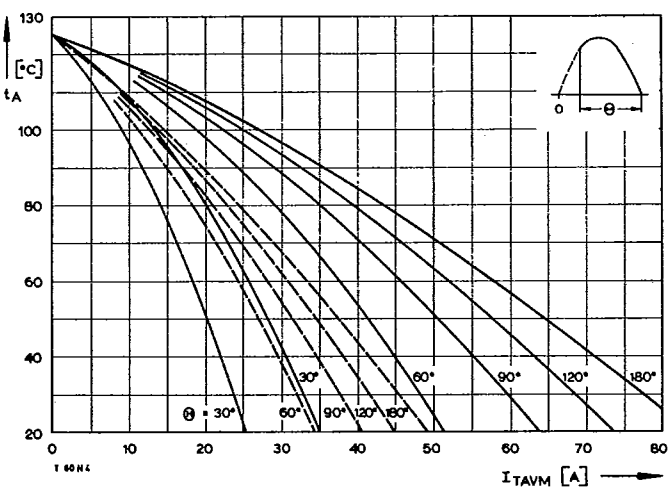
Bild/Fig. 1
Durchlaßkennlinien/On-state characteristics
a – Typische Kennlinien/typical characteristics
b – Grenzkennlinien/limiting characteristics



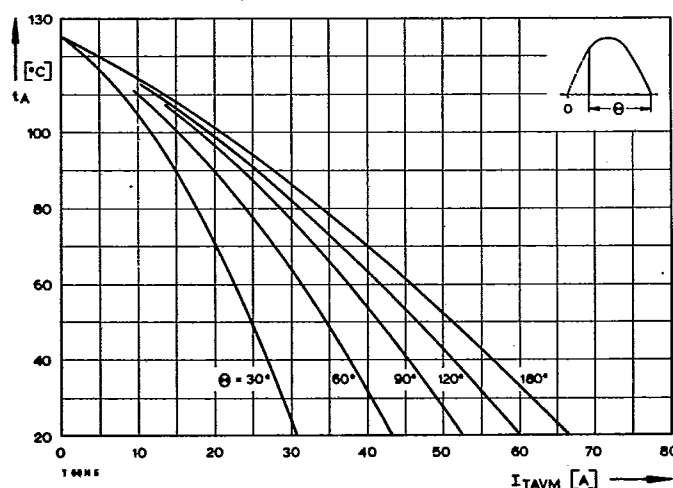
Bild/Fig. 2
Durchlaßverlustleistung P_T /On-state power loss P_T
Parameter: Stromflußwinkel Θ /current conduction angle Θ



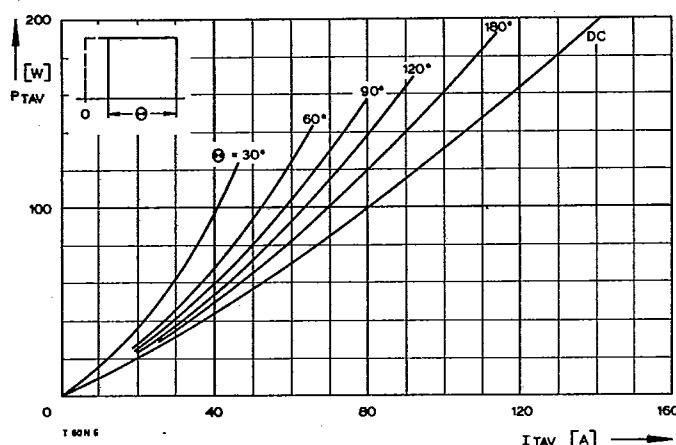
Bild/Fig. 3
Höchstzulässige Gehäusetemperatur t_c
Maximum allowable case temperature t_c



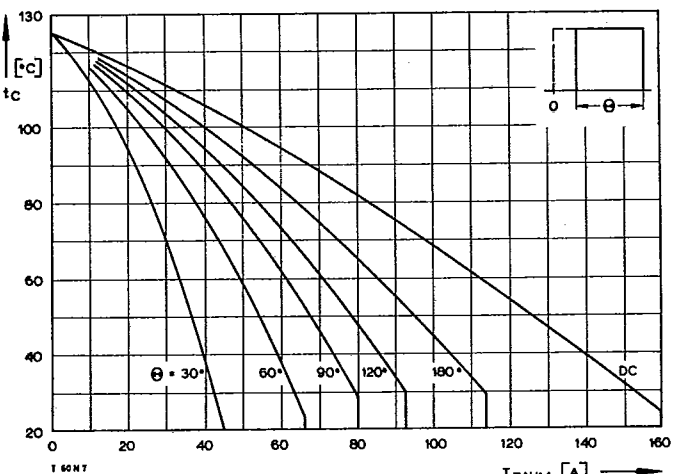
Bild/Fig. 4
Höchstzulässige Kühlmittelttemperatur t_A , Kühlkörper KL 42
Maximum allowable cooling medium temperature t_A , heatsink type KL 42
— Luftselbstkühlung/natural cooling
— Verstärkte Luftkühlung/forced cooling



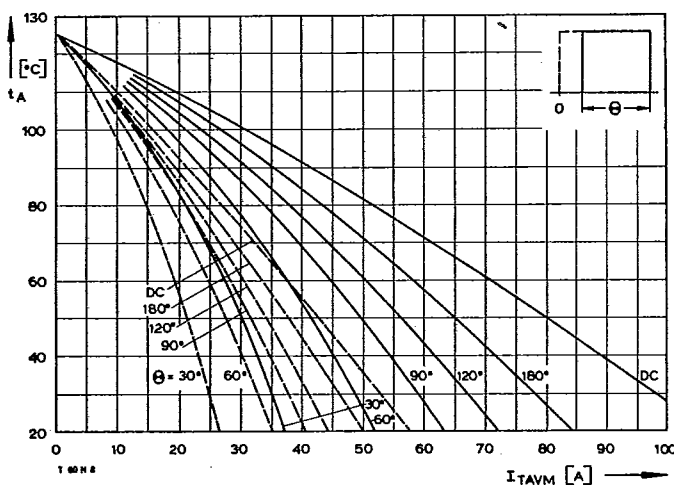
Bild/Fig. 5
Höchstzulässige Kühlmittelttemperatur t_A bei Luftselbstkühlung,
Kühlkörper KL 91
Maximum allowable cooling medium temperature t_A at natural cooling,
heatsink type KL 91



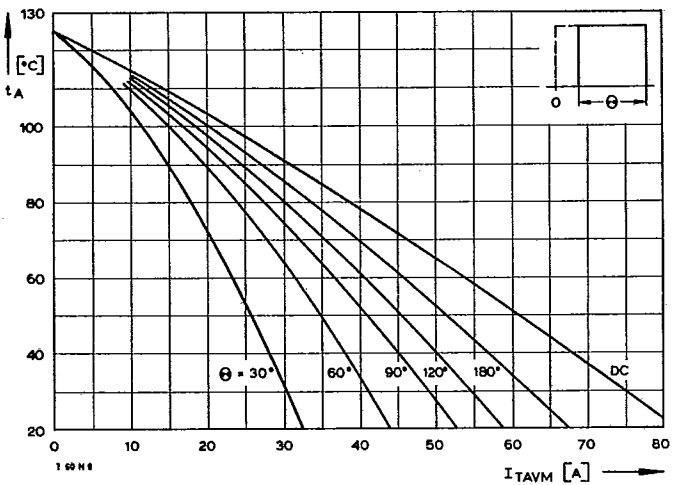
Bild/Fig. 6
Durchlaßverlustleistung P_T /On-state power loss P_T
Parameter: Stromflußwinkel Θ /current conduction angle Θ



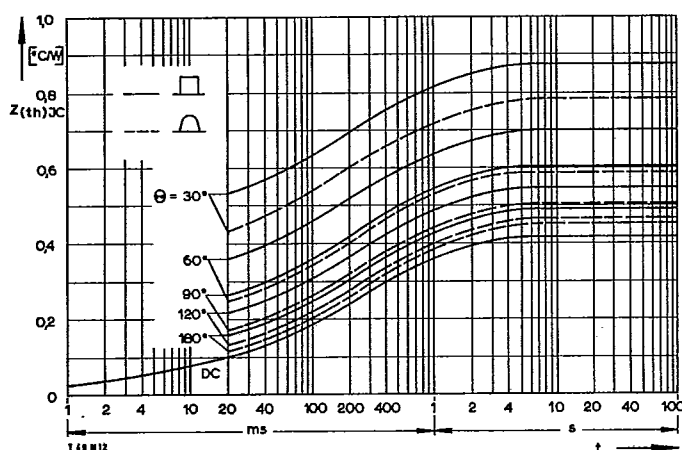
Bild/Fig. 7
Höchstzulässige Gehäusetemperatur t_c
Maximum allowable case temperature t_c



Bild/Fig. 8
Höchstzulässige Kühlmitteltemperatur t_A , Kühlkörper KL 42
Maximum allowable cooling medium temperature t_A , heatsink type KL 42
— Luftselbstkühlung/natural cooling
— Verstärkte Luftkühlung/forced cooling

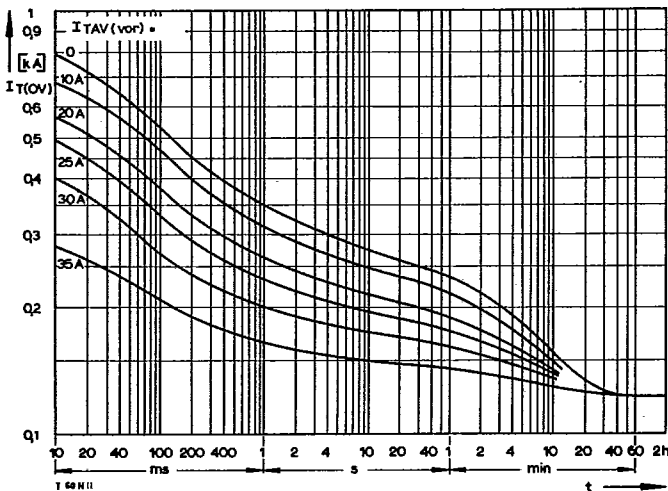


Bild/Fig. 9
Höchstzulässige Kühlmitteltemperatur t_A bei Luftselbstkühlung,
Kühlkörper KL 91
Maximum allowable cooling medium temperature t_A at natural cooling,
heatsink type KL 91

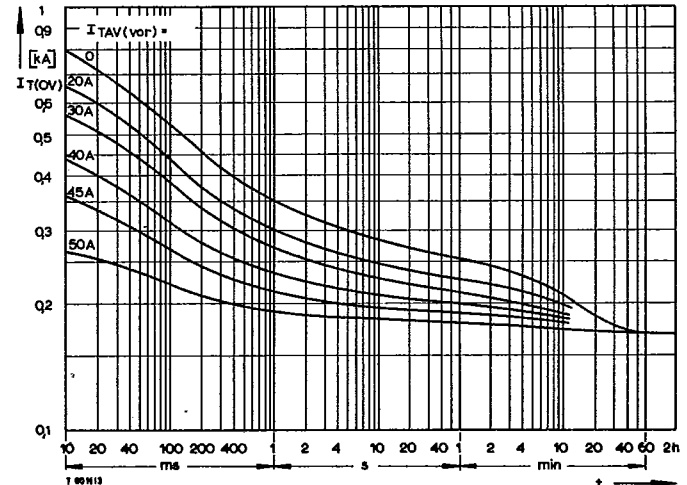


Bild/Fig. 10
Transienter innerer Wärmewiderstand $Z_{(th)JC}$ bei sinus- und rechteckförmigem
Stromverlauf.
Transient thermal impedance $Z_{(th)JC}$, junction to case at sinusoidal and
square wave current.

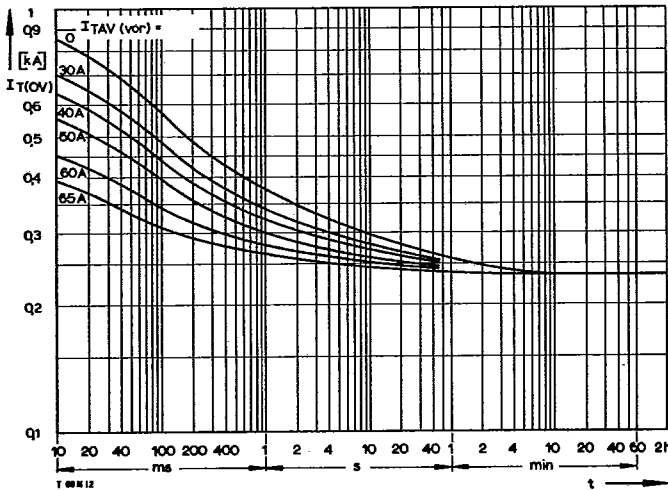
T 60 N



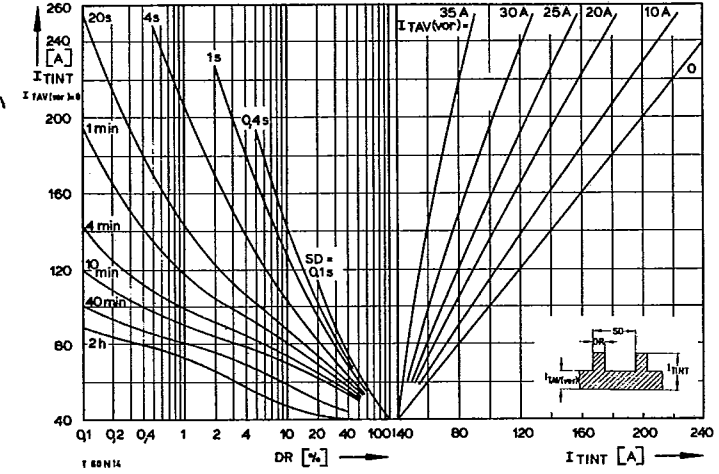
Bild/Fig. 11
Überstrom $I_{T(OV)}$ bei Luftselbstkühlung, $t_A = 45^\circ\text{C}$, Kühlkörper KL 42
Overload on-state current $I_{T(OV)}$ at natural cooling, $t_A = 45^\circ\text{C}$,
heat sink type KL 42
Parameter: Vorlaststrom/pre-load current $I_{TAV(vor)}$



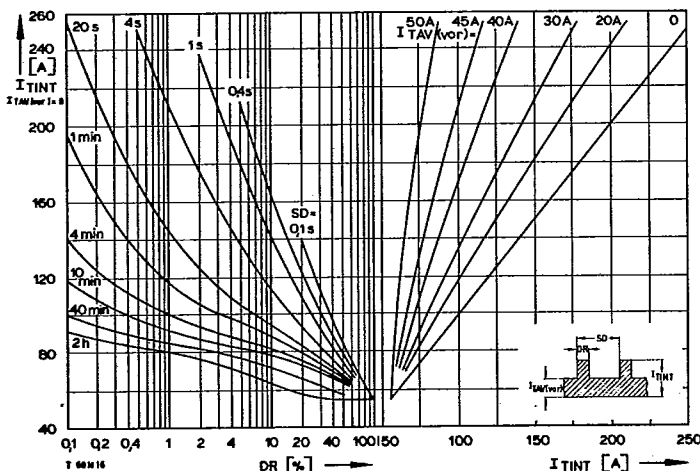
Bild/Fig. 12
Überstrom $I_{T(OV)}$ bei Luftselbstkühlung, $t_A = 45^\circ\text{C}$, Kühlkörper KL 91
Overload on-state current $I_{T(OV)}$ at natural cooling, $t_A = 45^\circ\text{C}$,
heat sink type KL 91
Parameter: Vorlaststrom/pre-load current $I_{TAV(vor)}$



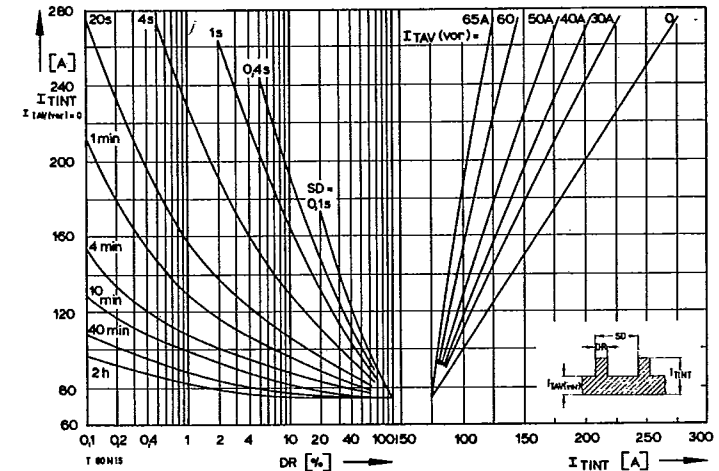
Bild/Fig. 13
Überstrom $I_{T(OV)}$ bei verstärkter Luftkühlung, $t_A = 35^\circ\text{C}$, Kühlkörper KL 42
Overload on-state current $I_{T(OV)}$ at forced cooling, $t_A = 35^\circ\text{C}$,
heat sink type KL 42
Parameter: Vorlaststrom/pre-load current $I_{TAV(vor)}$



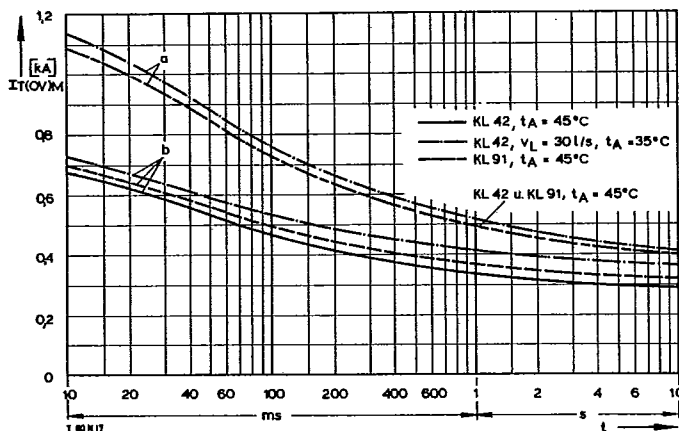
Bild/Fig. 14
Höchstzulässiger Durchlaßstrom I_{TINT} bei Aussetzbetrieb und Luftselbstkühlung,
 $t_A = 45^\circ\text{C}$, Kühlkörper KL 42
Limiting on-state current I_{TINT} during intermittent operation at natural cooling,
 $t_A = 45^\circ\text{C}$, heat sink type KL 42
Parameter: Spieldauer/cycle duration SD
Vorlaststrom/pre-load current $I_{TAV(vor)}$



Bild/Fig. 15
Höchstzulässiger Durchlaßstrom I_{TINT} bei Aussetzbetrieb und Luftselbstkühlung,
 $t_A = 45^\circ\text{C}$, Kühlkörper KL 91
Limiting on-state current I_{TINT} during intermittent operation at natural cooling,
 $t_A = 45^\circ\text{C}$, heat sink type KL 91
Parameter: Spieldauer/cycle duration SD
Vorlaststrom/pre-load current $I_{TAV(vor)}$



Bild/Fig. 16
Höchstzulässiger Durchlaßstrom I_{TINT} bei Aussetzbetrieb und verstärkter
Luftkühlung, $t_A = 35^\circ\text{C}$, Kühlkörper KL 42
Limiting on-state current I_{TINT} during intermittent operation at forced cooling,
 $t_A = 35^\circ\text{C}$, heat sink type KL 42
Parameter: Spieldauer/cycle duration SD
Vorlaststrom/pre-load current $I_{TAV(vor)}$



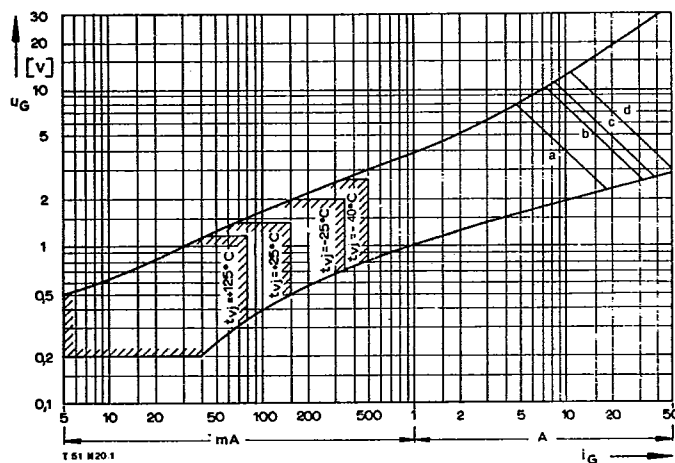
Bild/Fig. 17

Grenzstrom $I_{TOV}M$ bei Luftseltkühlung und verstärkter Luftkühlung, Kühlkörper KL 42... und KL 91..., $U_{RM} = 0,8 U_{RRM}$.

Limiting overload on-state current $I_{TOV}M$ at natural and forced cooling, heatsink type KL 42... and KL 91..., $U_{RM} = 0.8 U_{RRM}$.

a - Belastung aus Leerlauf/current surge under no-load conditions

b - Belastung nach Betrieb mit Dauergrenzstrom I_{AVM} /current surge occurs during operation at limiting mean on-state current rating I_{AVM}

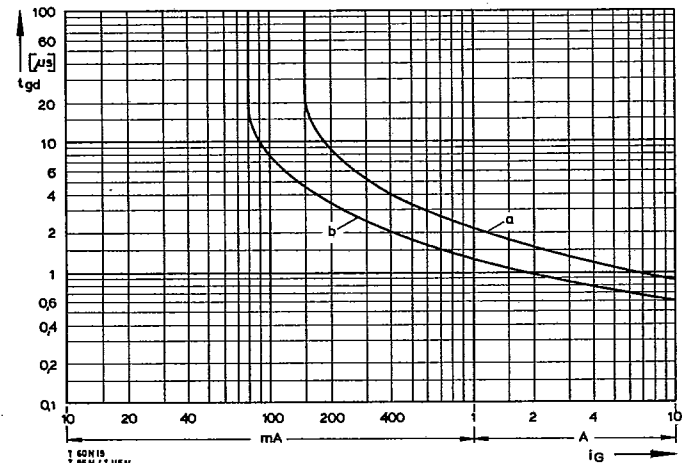


Bild/Fig. 18

Zündbereich und Spitzensteuerleistung bei $U_D \geq 6 V$.

Gate characteristic and peak gate power dissipation at $U_D \geq 6 V$.

Parameter:	a	b	c	d	
Steuerimpulsdauer/Pulse duration t_g	[ms]	10	1	0,5	0,1
Höchstzulässige Spitzensteuerleistung/ Maximum allowable peak gate power	[W]	40	80	100	150



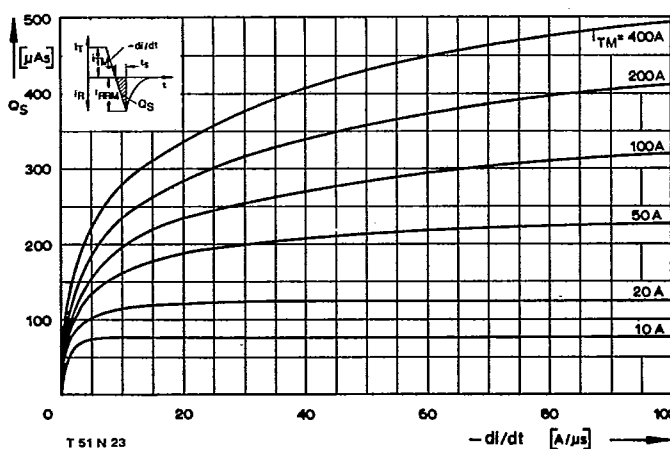
Bild/Fig. 19

Zündverzug t_{gd} bei $i_{TM} = 30 A$, $t_{vj} = 25^\circ C$.

Gate controlled delay time t_{gd} at $i_{TM} = 30 A$, $t_{vj} = 25^\circ C$.

a - äußerster Verlauf/limiting characteristic

b - typischer Verlauf/typical characteristic



Bild/Fig. 20

Nachlaufflager Q_s in Abhängigkeit von der abkommulierenden Stromsteilheit $-di/dt$ bei $t_{vj} = 125^\circ C$.

Der angegebene Verlauf wird von 90% aller Thyristoren nicht überschritten.

Lag charge Q_s versus the rate of decay of the forward on-state current $-di/dt$ at $t_{vj} = 125^\circ C$.

These curves are valid for 90% of all thyristors.